

Combinatoire algébrique liée aux ordres sur les permutations

Viviane Pons

Thèse de doctorat effectuée à l'université Paris-Est Marne-la-Vallée, sous la direction de

Jean-Christophe Novelli et Jean-Yves Thibon

7 octobre 2013

Définition

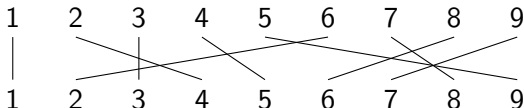
Une permutation est un mot de taille n sur l'alphabet $\{1, \dots, n\}$ où chaque lettre apparaît exactement une fois.

Exemple : 143592867

Définition

Une permutation est un mot de taille n sur l'alphabet $\{1, \dots, n\}$ où chaque lettre apparaît exactement une fois.

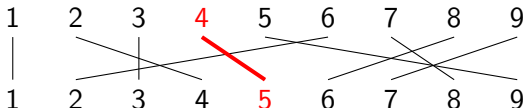
Exemple : 143592867



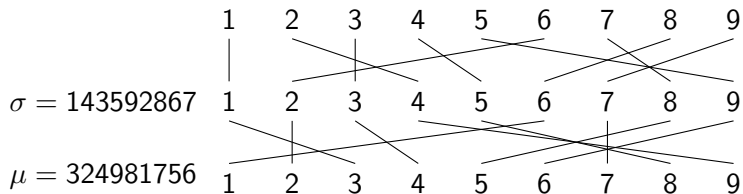
Définition

Une permutation est un mot de taille n sur l'alphabet $\{1, \dots, n\}$ où chaque lettre apparaît exactement une fois.

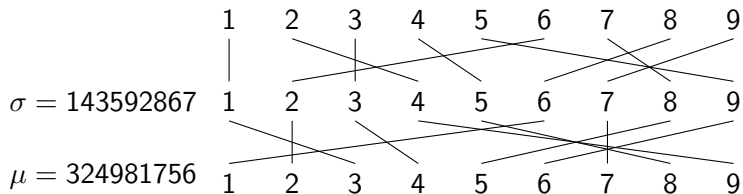
Exemple : 143592867



Structure de groupe

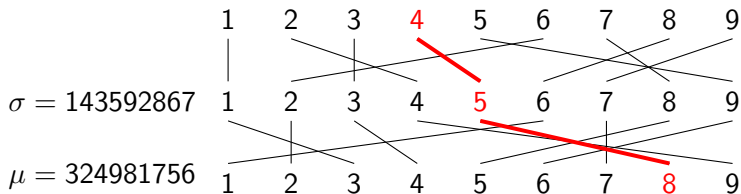


Structure de groupe



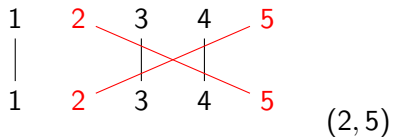
$$\mu \cdot \sigma = 394862517$$

Structure de groupe

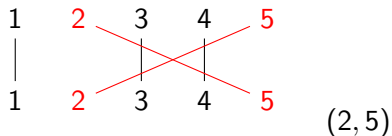


$$\mu \cdot \sigma = 394862517$$

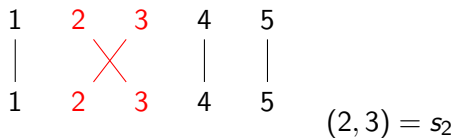
Transpositions



Transpositions



Transpositions simples



Ordre faible droit

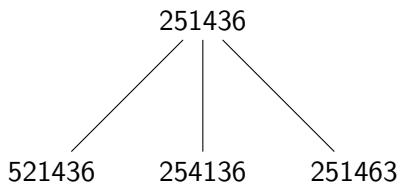
$$\begin{array}{c} \sigma \\ | \\ \sigma s_i \end{array}$$

$$\ell(\sigma s_i) = \ell(\sigma) + 1$$

Ordre faible droit



$$\ell(\sigma s_i) = \ell(\sigma) + 1$$



Ordre faible droit



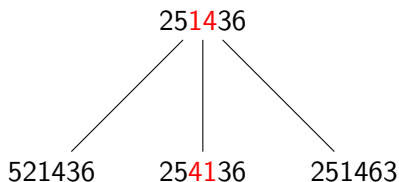
$$\ell(\sigma s_i) = \ell(\sigma) + 1$$



Ordre faible droit



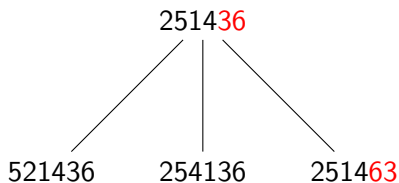
$$\ell(\sigma s_i) = \ell(\sigma) + 1$$



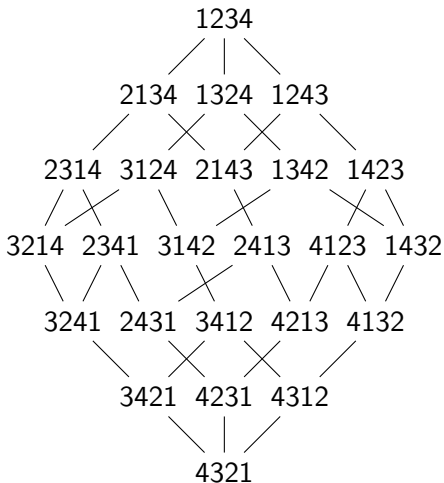
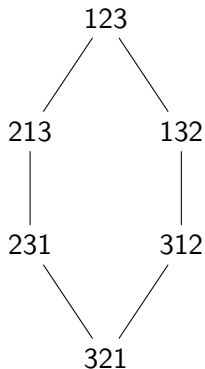
Ordre faible droit



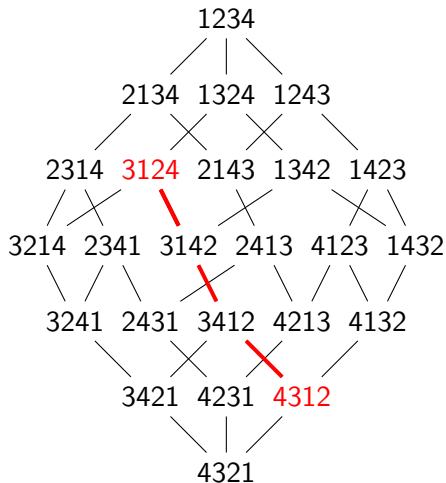
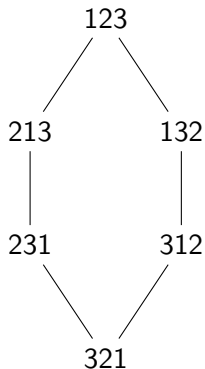
$$\ell(\sigma s_i) = \ell(\sigma) + 1$$



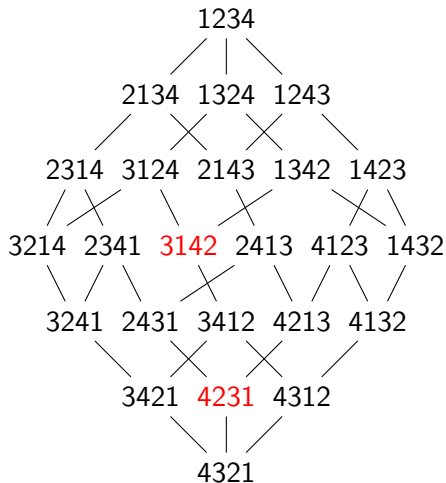
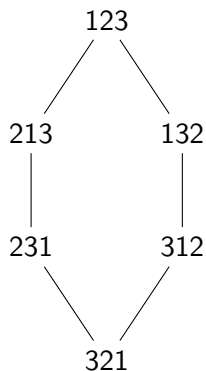
Ordre faible droit



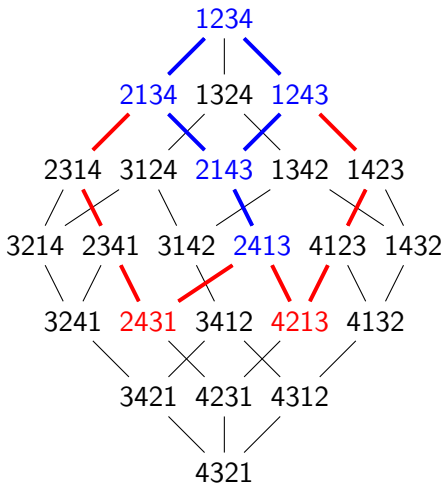
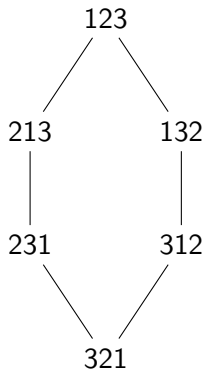
Ordre faible droit



Ordre faible droit



Ordre faible droit



Ordre faible gauche

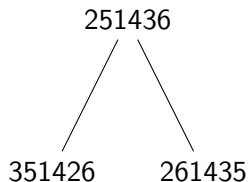


$$\ell(s_i \sigma) = \ell(\sigma) + 1$$

Ordre faible gauche



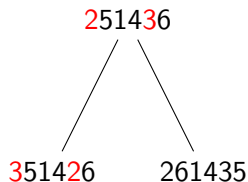
$$\ell(s_i\sigma) = \ell(\sigma) + 1$$



Ordre faible gauche



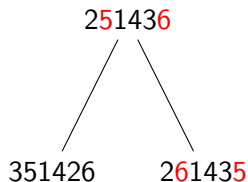
$$\ell(s_i\sigma) = \ell(\sigma) + 1$$



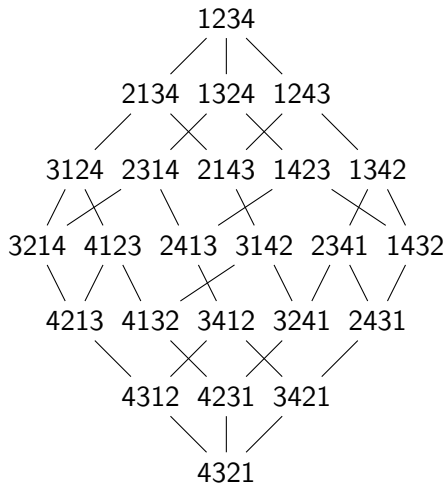
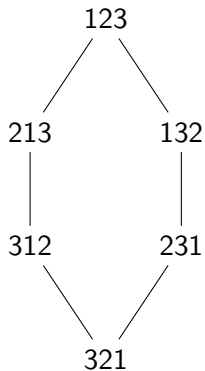
Ordre faible gauche



$$\ell(s_i\sigma) = \ell(\sigma) + 1$$



Ordre faible gauche



Ordre de Bruhat

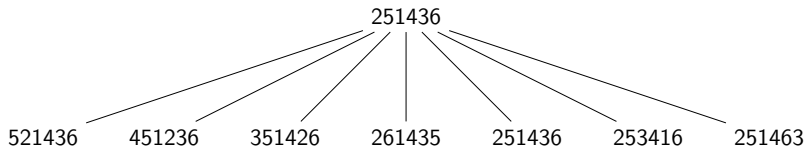
σ



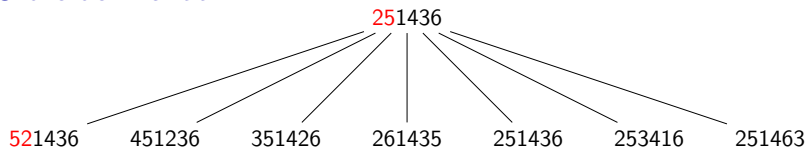
$\sigma\tau$

$$\ell(\sigma\tau) = \ell(\sigma) + 1$$

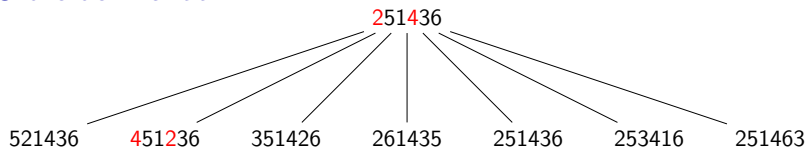
Ordre de Bruhat



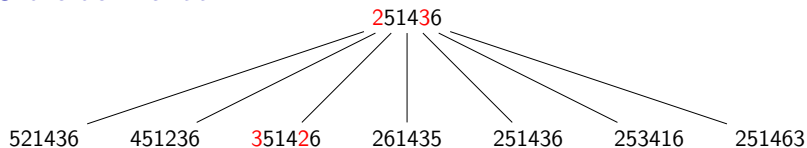
Ordre de Bruhat



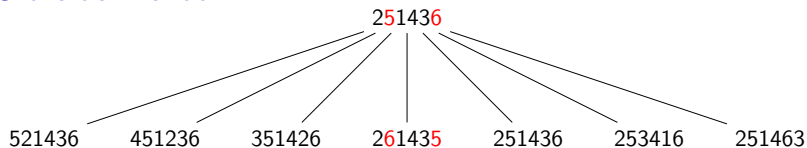
Ordre de Bruhat



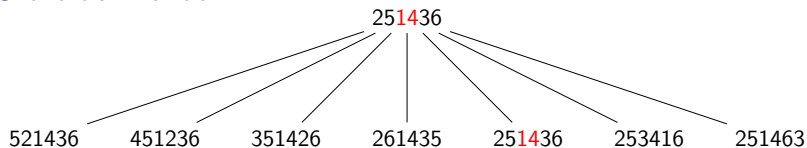
Ordre de Bruhat



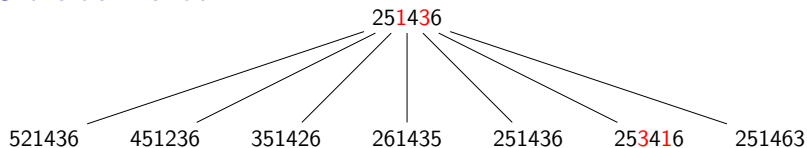
Ordre de Bruhat



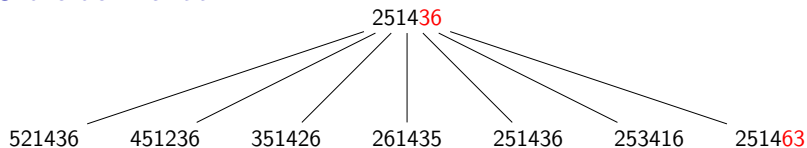
Ordre de Bruhat



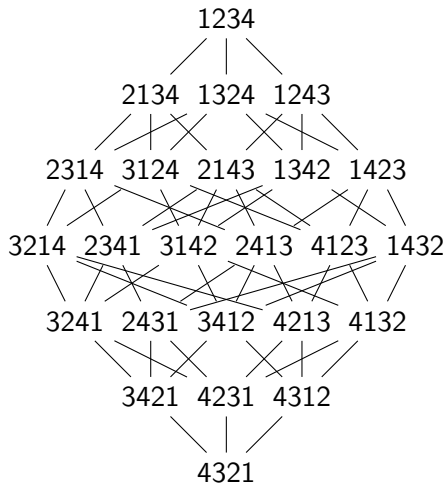
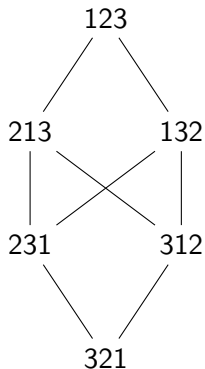
Ordre de Bruhat



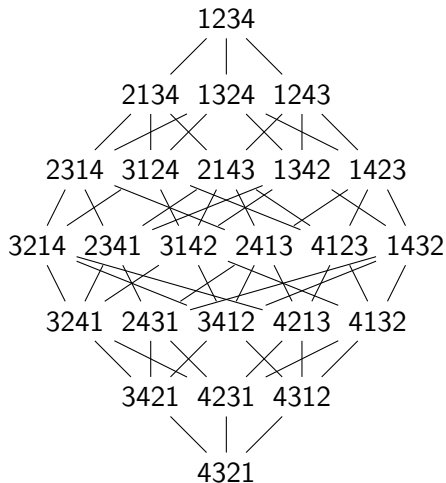
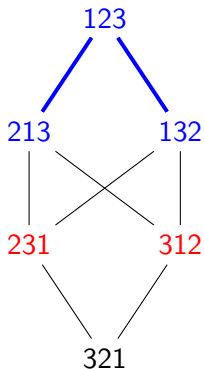
Ordre de Bruhat



Ordre de Bruhat



Ordre de Bruhat



Ordre de Bruhat et polynômes multivariés

Ordre de Bruhat et polynômes multivariés

- ▶ Produit des polynômes de Grothendieck

Ordre de Bruhat et polynômes multivariés

- ▶ Produit des polynômes de Grothendieck

Théorème (P.)

Le produit $G_\sigma G_{s_k}$ se développe dans la base des G comme une somme alternée sur un intervalle de l'ordre de Bruhat.

Ordre de Bruhat et polynômes multivariés

- ▶ Produit des polynômes de Grothendieck

Théorème (P.)

Le produit $G_\sigma G_{s_k}$ se développe dans la base des G comme une somme alternée sur un intervalle de l'ordre de Bruhat.

- ▶ Implantation en Sage des bases des polynômes (Schubert, Grothendieck, etc.)

Treillis de Tamari

Treillis de Tamari

- ▶ 1962, Tamari : ordre sur les parenthésages formels

Treillis de Tamari

- ▶ 1962, Tamari : ordre sur les parenthésages formels
- ▶ 1972, Huang, Tamari : structure de treillis

Treillis de Tamari

- ▶ 1962, Tamari : ordre sur les parenthésages formels
- ▶ 1972, Huang, Tamari : structure de treillis
- ▶ 2007, Chapoton : nombre d'intervalles

$$\frac{2}{n(n+1)} \binom{4n+1}{n-1}$$

Treillis de m -Tamari

Treillis de m -Tamari

- ▶ Bergeron, Préville-Ratelle : posets de m -Tamari

Treillis de m -Tamari

- ▶ Bergeron, Préville-Ratelle : posets de m -Tamari
- ▶ Bousquet-Mélou, Fusy, Préville-Ratelle : nombre d'intervalles

$$\frac{m+1}{n(mn+1)} \binom{(m+1)^2 n + m}{n-1}$$

Arbres binaires

Définition récursive :

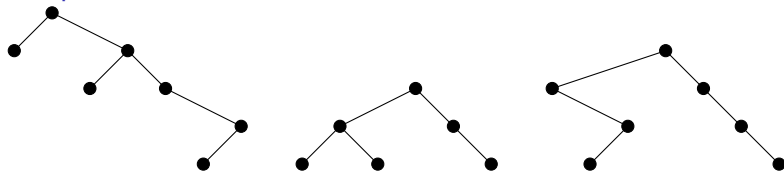
- ▶ l'arbre vide ou
- ▶ une racine possédant 2 sous-arbres (gauche et droit)

Arbres binaires

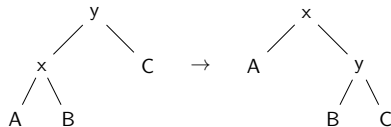
Définition récursive :

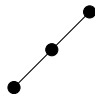
- ▶ l'arbre vide ou
- ▶ une racine possédant 2 sous-arbres (gauche et droit)

Exemples

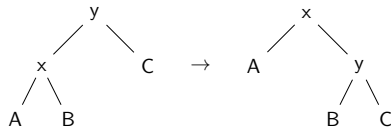


Rotation droite



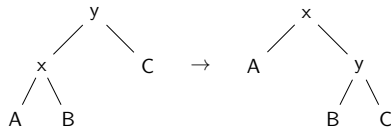


Rotation droite

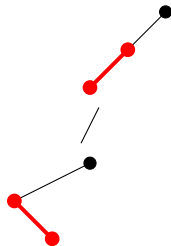
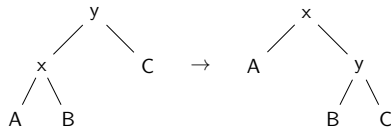




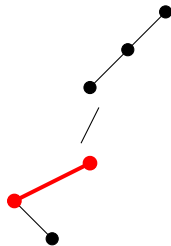
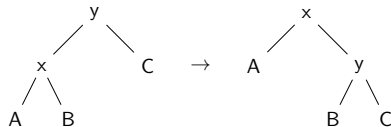
Rotation droite



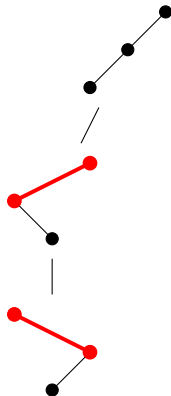
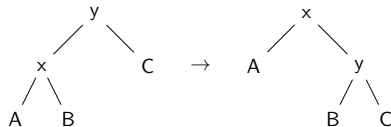
Rotation droite



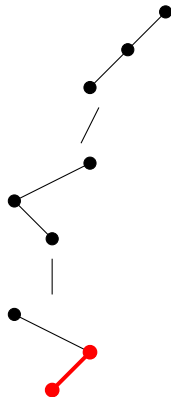
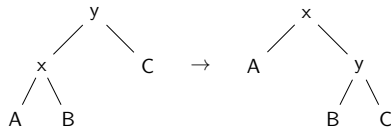
Rotation droite



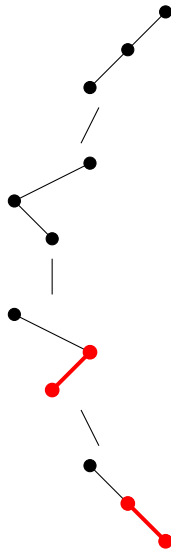
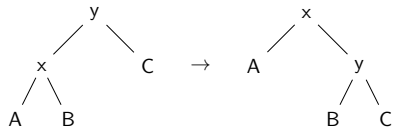
Rotation droite



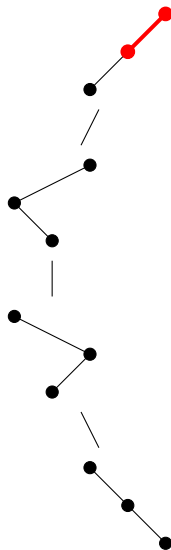
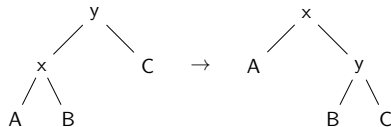
Rotation droite



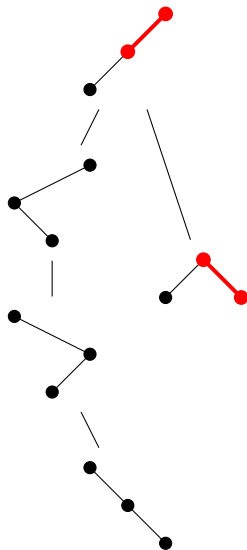
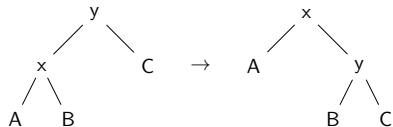
Rotation droite



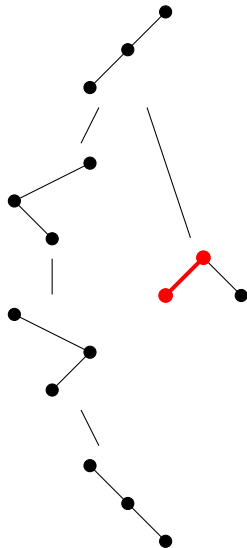
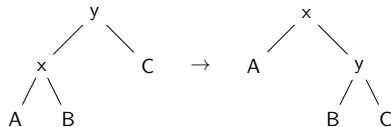
Rotation droite



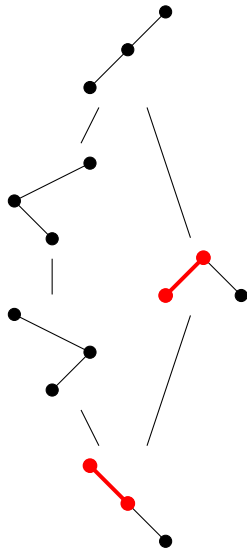
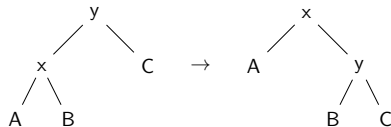
Rotation droite



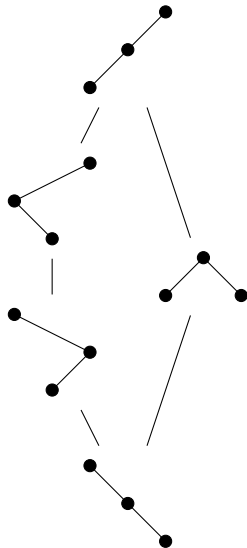
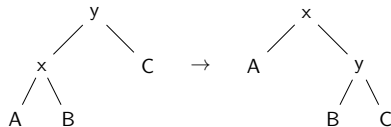
Rotation droite

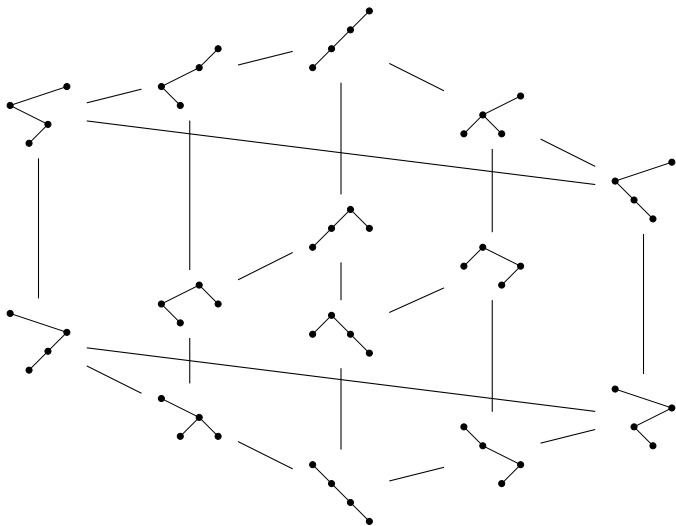


Rotation droite



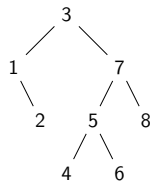
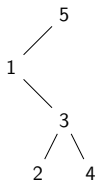
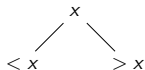
Rotation droite





Lien avec l'ordre faible

Étiquetage canonique



Insertion dans un arbre binaire de recherche

4

15324 \rightarrow

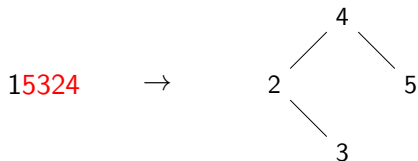
Insertion dans un arbre binaire de recherche



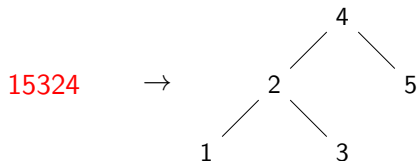
Insertion dans un arbre binaire de recherche



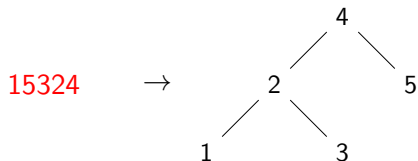
Insertion dans un arbre binaire de recherche



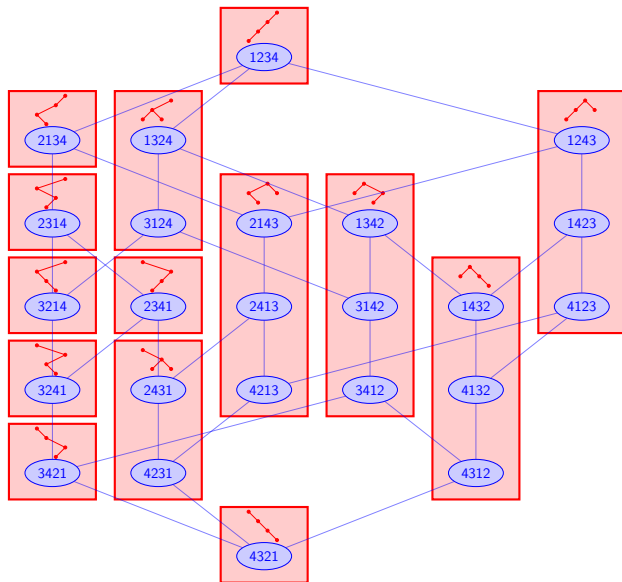
Insertion dans un arbre binaire de recherche



Insertion dans un arbre binaire de recherche



Caractérisation : les permutations qui correspondent à un arbre donné sont ses extensions linéaires
15324, 31254, 35124, 51324, ...

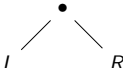


Polynômes de Tamari

On définit récursivement \mathcal{B}_T par

$$\mathcal{B}_\emptyset := 1$$

$$\mathcal{B}_T(x) := x\mathcal{B}_L(x) \frac{x\mathcal{B}_R(x) - \mathcal{B}_R(1)}{x - 1}$$

avec $T =$ 

Théorème (Châtel, P.)

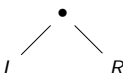
\mathcal{B}_T compte le nombre d'arbres inférieurs ou égaux à T dans le treillis de Tamari en fonction du nombre de nœuds sur leur branche gauche.

Polynômes de Tamari

On définit récursivement \mathcal{B}_T par

$$\mathcal{B}_\emptyset := 1$$

$$\mathcal{B}_T(x) := x \mathcal{B}_L(x) \frac{x \mathcal{B}_R(x) - \mathcal{B}_R(1)}{x - 1}$$

avec $T =$ 

Théorème (Châtel, P.)

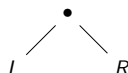
\mathcal{B}_T compte le nombre d'arbres inférieurs ou égaux à T dans le treillis de Tamari en fonction du nombre de nœuds sur leur branche gauche.

Polynômes de Tamari

On définit récursivement \mathcal{B}_T par

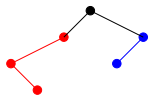
$$\mathcal{B}_\emptyset := 1$$

$$\mathcal{B}_T(x) := x\mathcal{B}_L(x) \frac{x\mathcal{B}_R(x) - \mathcal{B}_R(1)}{x - 1}$$

avec $T =$ 

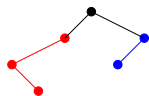
Théorème (Châtel, P.)

\mathcal{B}_T compte le nombre d'arbres inférieurs ou égaux à T dans le treillis de Tamari en fonction du nombre de nœuds sur leur branche gauche.



$$\mathcal{B}_\emptyset := 1$$

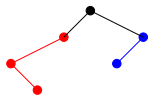
$$\mathcal{B}_T(x) := x\mathcal{B}_L(x) \frac{x\mathcal{B}_R(x) - \mathcal{B}_R(1)}{x - 1}$$



$$\mathcal{B}_\emptyset := 1$$

$$\mathcal{B}_T(x) := x\mathcal{B}_L(x) \frac{x\mathcal{B}_R(x) - \mathcal{B}_R(1)}{x - 1}$$

$$\mathcal{B}_L(x) = x^3 + x^2$$

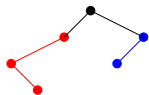


$$\mathcal{B}_\emptyset := 1$$

$$\mathcal{B}_T(x) := x\mathcal{B}_L(x) \frac{x\mathcal{B}_R(x) - \mathcal{B}_R(1)}{x - 1}$$

$$\mathcal{B}_L(x) = x^3 + x^2$$

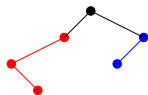
$$\mathcal{B}_R(x) = x^2$$



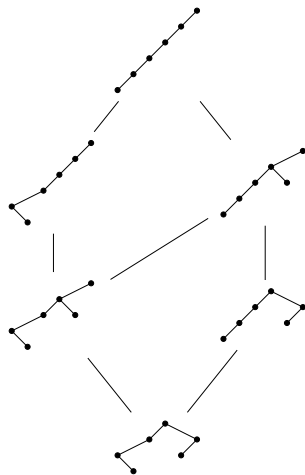
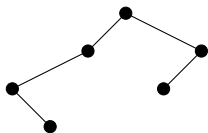
$$\mathcal{B}_\emptyset := 1$$

$$\mathcal{B}_T(x) := x(x^3 + x^2) \frac{x\mathcal{B}_R(x) - \mathcal{B}_R(1)}{x - 1}$$

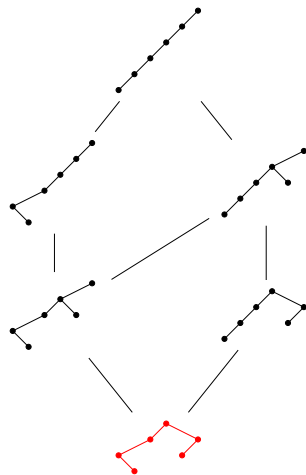
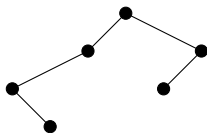
$$\mathcal{B}_R(x) = x^2$$



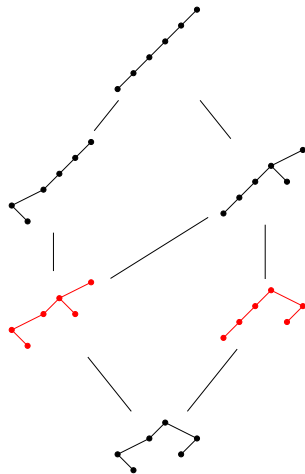
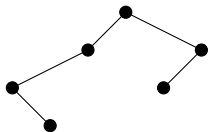
$$\mathcal{B}_\emptyset := 1$$
$$\mathcal{B}_T(x) := x(x^3 + x^2)(1 + x + x^2)$$



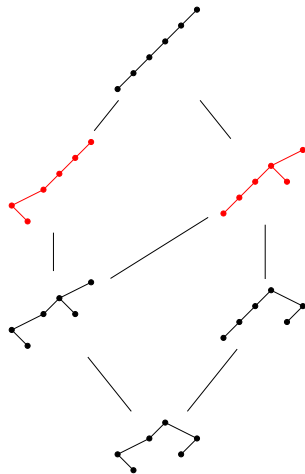
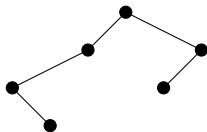
$$\mathcal{B}_T(x) = x^3 + 2x^4 + 2x^5 + x^6$$



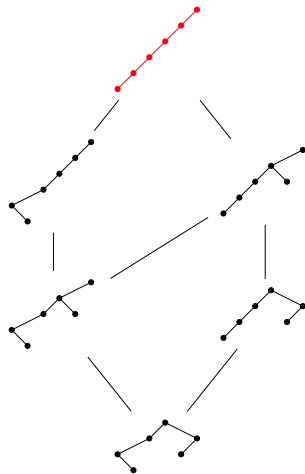
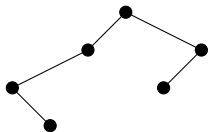
$$\mathcal{B}_T(x) = x^3 + 2x^4 + 2x^5 + x^6$$



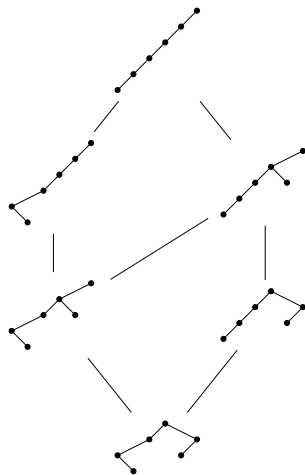
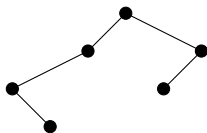
$$\mathcal{B}_T(x) = x^3 + 2x^4 + 2x^5 + x^6$$



$$\mathcal{B}_T(x) = x^3 + 2x^4 + 2x^5 + x^6$$

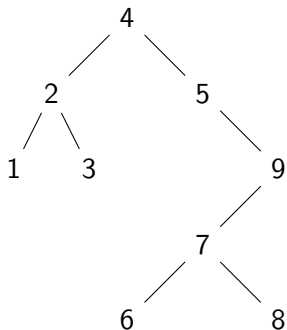


$$\mathcal{B}_T(x) = x^3 + 2x^4 + 2x^5 + x^6$$

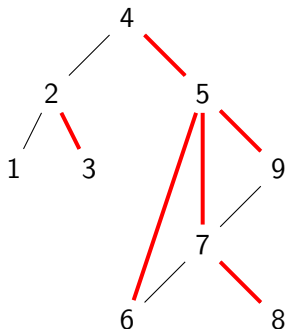


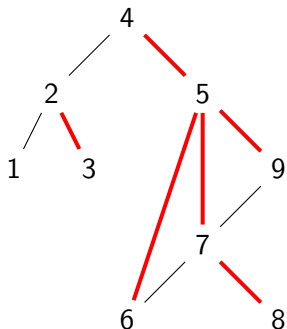
$$\mathcal{B}_T(x) = x^3 + 2x^4 + 2x^5 + x^6$$

$$\mathcal{B}_T(1) = 6$$

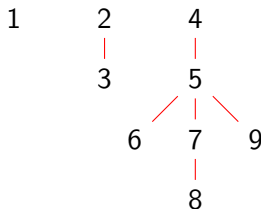


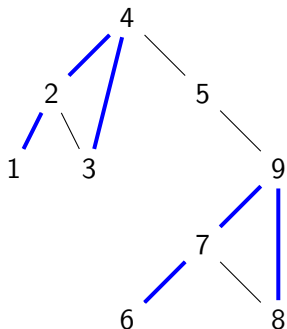
Forêt finale $F_{\geq}(T)$



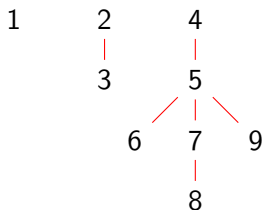


Forêt finale $F_{\geq}(T)$

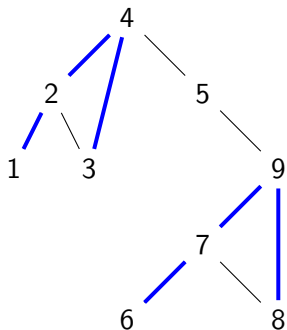




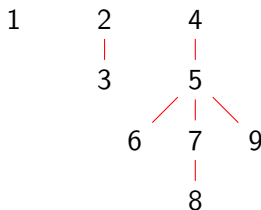
Forêt finale $F_{\geq}(T)$



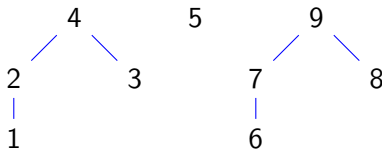
Forêt initiale $F_{\leq}(T)$

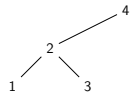
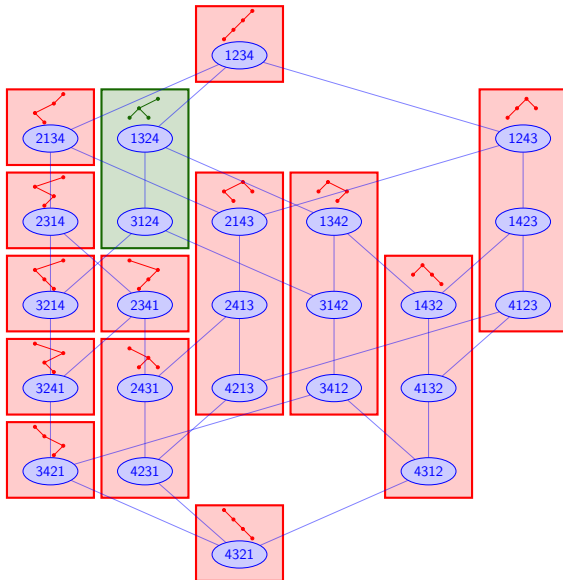


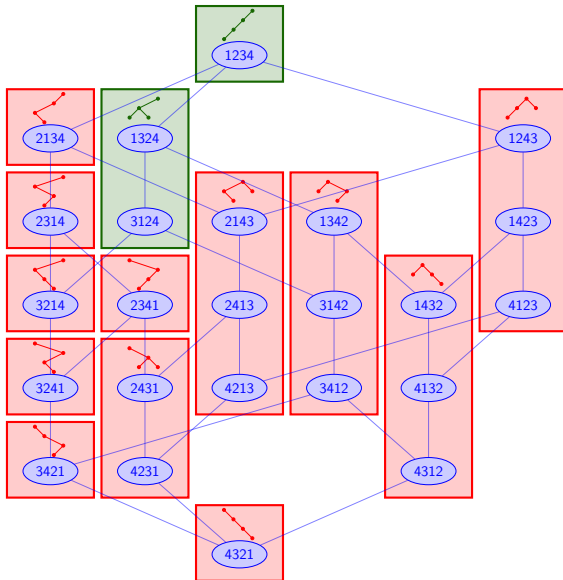
Forêt finale $F_{\geq}(T)$



Forêt initiale $F_{\leq}(T)$

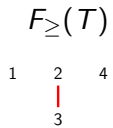
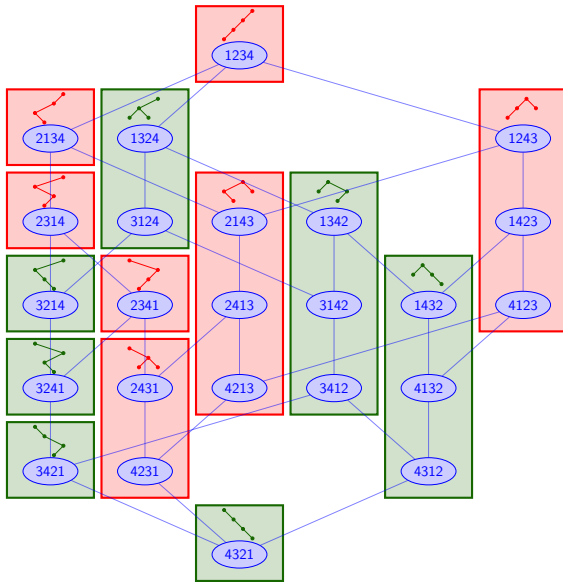


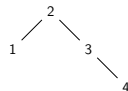
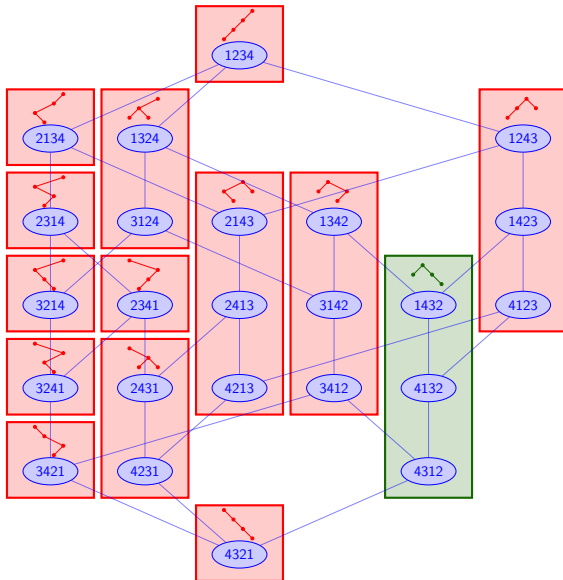


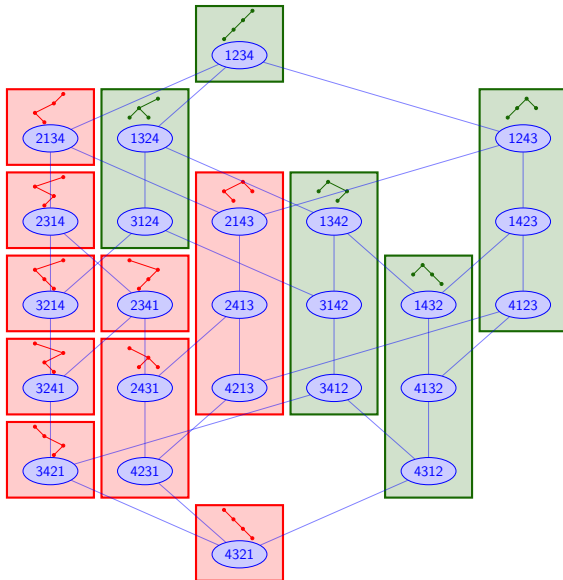


$F_{\leq}(T)$



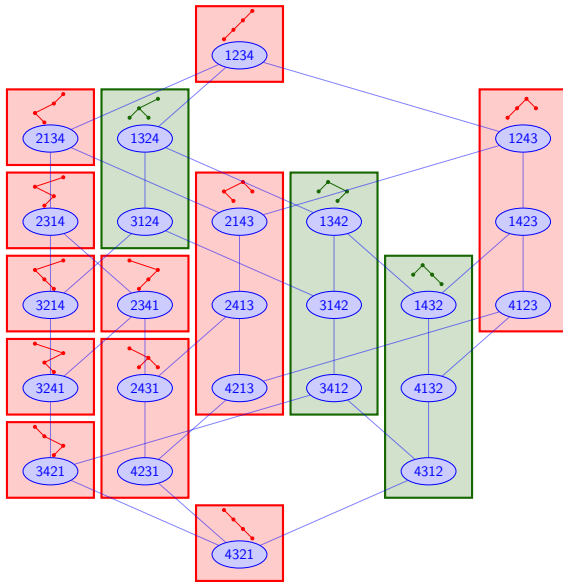






$$F_{\leq}(T')$$





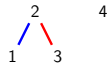
$$F_{\geq}(T)$$



$$F_{\leq}(T')$$



Intervalle-poset
 $[T, T']$



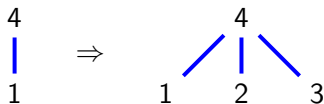
Théorème (Châtel, P.)

Les intervalles de Tamari sont en bijection avec les posets étiquetés sur $1, \dots, n$ de taille n vérifiant :

Théorème (Châtel, P.)

Les intervalles de Tamari sont en bijection avec les posets étiquetés sur $1, \dots, n$ de taille n vérifiant :

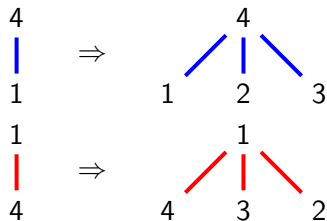
- ▶ *Si $a < c$ et $a \triangleleft c$ alors $b \triangleleft c$ pour tout $a < b < c$.*

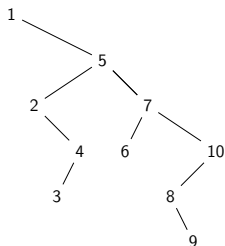
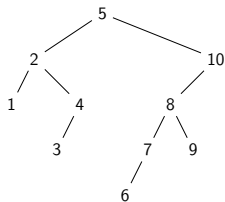


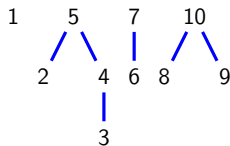
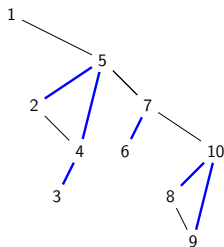
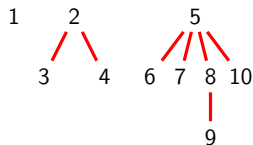
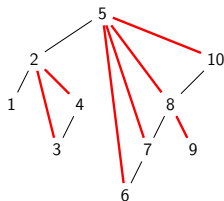
Théorème (Châtel, P.)

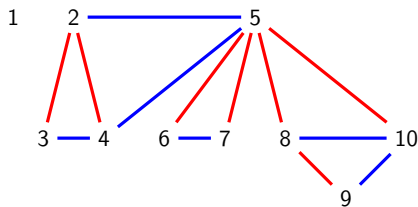
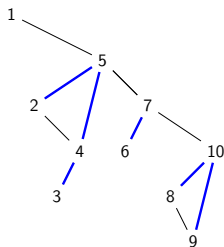
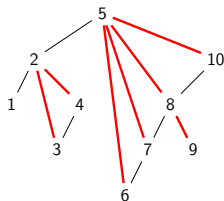
Les intervalles de Tamari sont en bijection avec les posets étiquetés sur $1, \dots, n$ de taille n vérifiant :

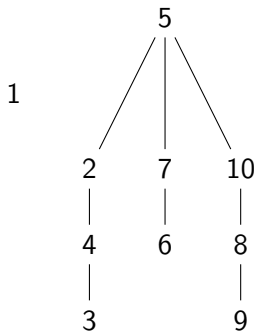
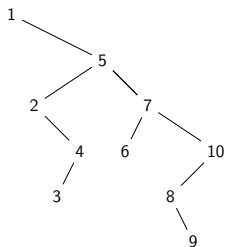
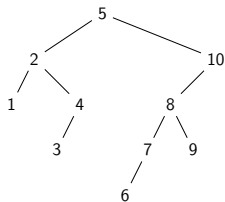
- ▶ Si $a < c$ et $a \triangleleft c$ alors $b \triangleleft c$ pour tout $a < b < c$.
- ▶ Si $a < c$ et $c \triangleleft a$ alors $b \triangleleft a$ pour tout $a < b < c$.

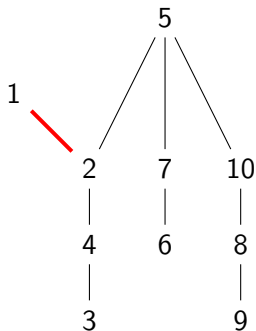
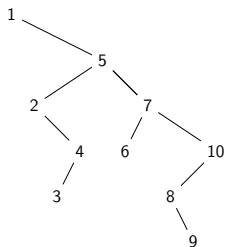
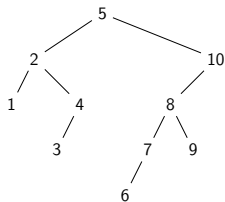


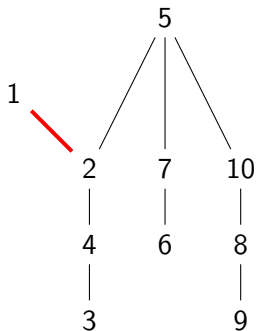
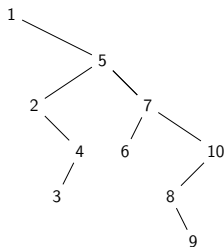
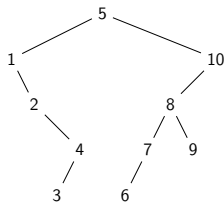


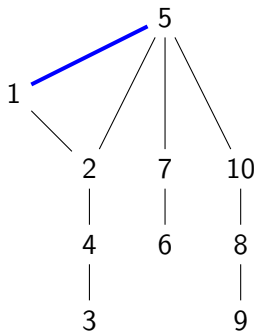
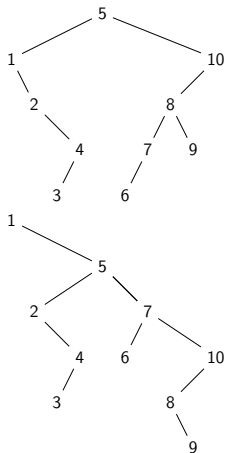


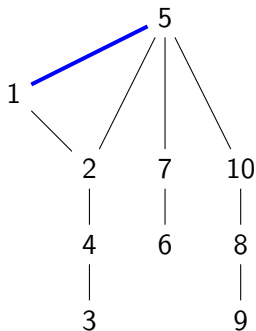
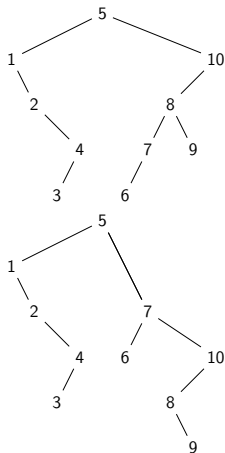








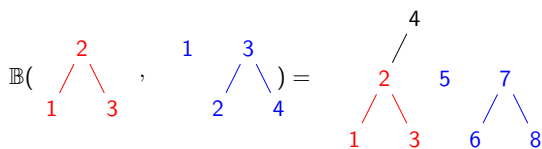




$$\mathbb{B} \left(\begin{array}{c} 2 \\ / \quad \backslash \\ 1 \quad 3 \end{array}, \begin{array}{c} 1 \quad 3 \\ / \quad \backslash \\ 2 \quad 4 \end{array} \right) =$$

$$\mathbb{B} \left(\begin{array}{c} 2 \\ / \quad \backslash \\ 1 \quad 3 \end{array}, \begin{array}{c} 1 \quad 3 \\ / \quad \backslash \\ 2 \quad 4 \end{array} \right) = \begin{array}{c} 2 \\ / \quad \backslash \\ 1 \quad 3 \end{array}$$

$$\mathbb{B} \left(\begin{array}{c} 2 \\ / \quad \backslash \\ 1 \quad 3 \end{array}, \begin{array}{c} 1 \quad 3 \\ / \quad \backslash \\ 2 \quad 4 \end{array} \right) = \begin{array}{c} 4 \\ | \\ 2 \\ / \quad \backslash \\ 1 \quad 3 \end{array}$$



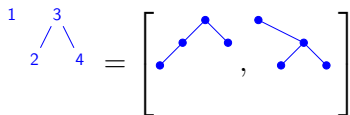
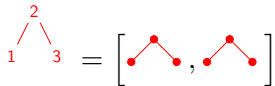
$$\mathbb{B} \left(\begin{array}{c} 2 \\ / \quad \backslash \\ 1 \quad 3 \end{array} , \begin{array}{c} 1 \quad 3 \\ / \quad \backslash \\ 2 \quad 4 \end{array} \right) = \begin{array}{c} 4 \\ / \quad \backslash \\ 2 \quad 5 \\ / \quad \backslash \\ 1 \quad 3 \quad 6 \quad 8 \end{array} + \begin{array}{c} 4 \\ / \quad \backslash \\ 2 \quad 5 \\ / \quad \backslash \\ 1 \quad 3 \quad 6 \quad 8 \end{array}$$

The image shows a distributive law in the Tamari lattice. On the left, the product of two binary trees is shown. The first tree has root 2 with children 1 and 3. The second tree has root 1 with children 2 and 4, and root 3 with children 2 and 4. On the right, the result is the sum of two binary trees. The first tree has root 4 with children 2 and 5, where 2 has children 1 and 3, and 5 has children 6 and 8. The second tree has root 4 with children 2 and 5, where 2 has children 1 and 3, and 5 has children 6 and 8.

$$\mathbb{B} \left(\begin{array}{c} 2 \\ / \quad \backslash \\ 1 \quad 3 \end{array} \right), \quad \begin{array}{c} 1 \\ 3 \\ / \quad \backslash \\ 2 \quad 4 \end{array} = \begin{array}{c} 4 \\ / \quad \backslash \\ 2 \quad 5 \\ / \quad \backslash \quad / \quad \backslash \\ 1 \quad 3 \quad 6 \quad 7 \quad 8 \end{array} + \begin{array}{c} 4 \\ / \quad \backslash \\ 2 \quad 5 \\ / \quad \backslash \quad / \quad \backslash \\ 1 \quad 3 \quad 6 \quad 7 \quad 8 \end{array}$$

$$+ \begin{array}{c} 4 \\ / \quad \backslash \quad / \quad \backslash \\ 2 \quad 5 \quad 6 \quad 7 \\ / \quad \backslash \quad / \quad \backslash \\ 1 \quad 3 \quad 6 \quad 7 \quad 8 \end{array}$$

$$\mathbb{B} \left(\begin{array}{c} 2 \\ / \quad \backslash \\ 1 \quad 3 \end{array}, \begin{array}{c} 3 \\ / \quad \backslash \\ 2 \quad 4 \end{array} \right) = \begin{array}{c} 4 \\ / \quad \backslash \\ 2 \quad 5 \\ / \quad \backslash \quad / \quad \backslash \\ 1 \quad 3 \quad 6 \quad 8 \end{array} + \begin{array}{c} 4 \\ / \quad \backslash \\ 2 \quad 5 \\ / \quad \backslash \quad / \quad \backslash \\ 1 \quad 3 \quad 6 \quad 8 \end{array} \\
 + \begin{array}{c} 4 \\ / \quad \backslash \quad / \quad \backslash \\ 2 \quad 5 \quad 6 \quad 8 \\ / \quad \backslash \\ 1 \quad 3 \end{array} + \begin{array}{c} 4 \\ / \quad \backslash \quad / \quad \backslash \\ 2 \quad 5 \quad 6 \quad 8 \\ / \quad \backslash \\ 1 \quad 3 \end{array}$$

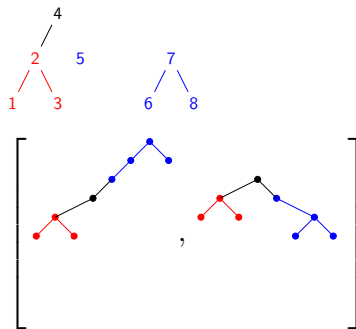
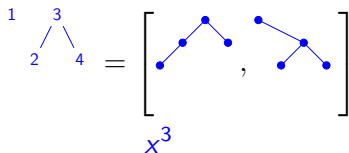
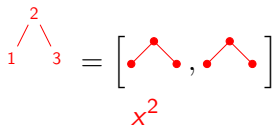


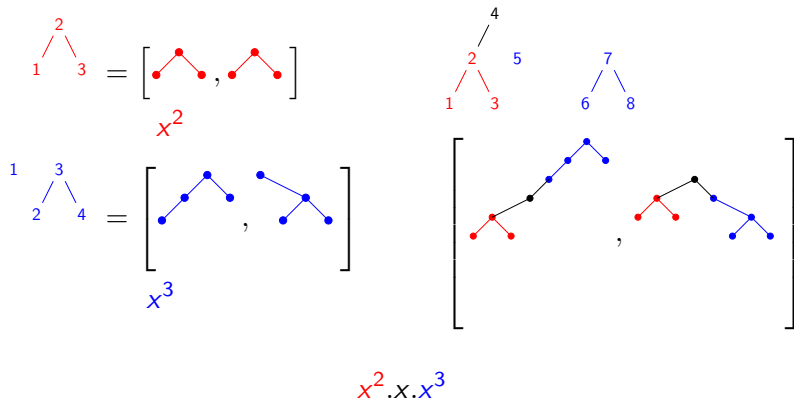
$$\begin{array}{c} 2 \\ / \quad \backslash \\ 1 \quad 3 \end{array} = \left[\begin{array}{c} \bullet \quad \bullet \\ / \quad \backslash \\ \bullet \quad \bullet \end{array}, \begin{array}{c} \bullet \quad \bullet \\ / \quad \backslash \\ \bullet \quad \bullet \end{array} \right]$$

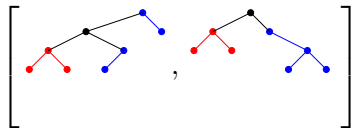
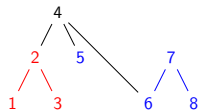
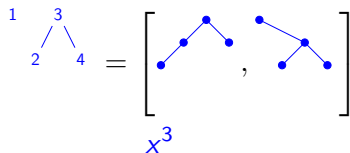
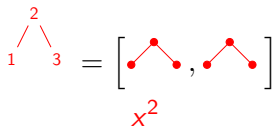
x^2

$$\begin{array}{c} 1 \quad 3 \\ / \quad \backslash \\ 2 \quad 4 \end{array} = \left[\begin{array}{c} \bullet \quad \bullet \quad \bullet \\ / \quad \backslash \quad / \quad \backslash \\ \bullet \quad \bullet \quad \bullet \quad \bullet \end{array}, \begin{array}{c} \bullet \quad \bullet \quad \bullet \\ / \quad \backslash \quad / \quad \backslash \\ \bullet \quad \bullet \quad \bullet \quad \bullet \end{array} \right]$$

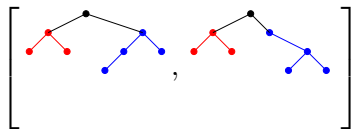
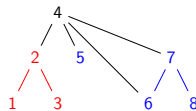
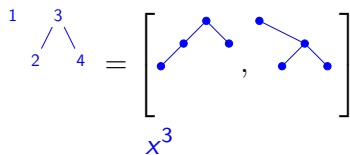
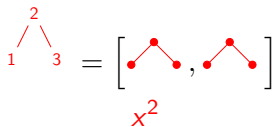
x^3







$$x^2 \cdot x \cdot x^3 + x^2 \cdot x \cdot x^2 + x^2 \cdot x \cdot x$$



$$x^2 \cdot x \cdot (x^3 + x^2 + x + 1)$$

Théorème (Chapoton)

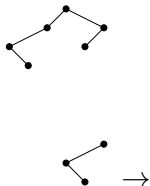
La série génératrice des intervalles de Tamari vérifie l'équation fonctionnelle

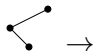
$$\Phi(x, y) = B(\Phi, \Phi) + 1$$

où

$$B(f, g) = xyf(x, y) \frac{xg(x, y) - g(1, y)}{x - 1}$$







x^3





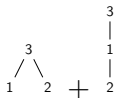
→

$$\begin{array}{c} 3 \\ \swarrow \quad \searrow \\ 1 \quad 2 \end{array} + \begin{array}{c} 3 \\ | \\ 1 \\ | \\ 2 \end{array} \\
 x^3 + x^2$$





→



$$x^3 + x^2$$



→



$$x^2$$



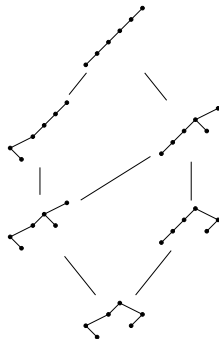
$$\begin{array}{c}
 3 \\
 \diagdown \quad \diagup \\
 1 \quad 2
 \end{array}
 +
 \begin{array}{c}
 3 \\
 | \\
 1 \\
 | \\
 2
 \end{array}$$

$$x^3 + x^2$$



$$\begin{array}{c}
 2 \\
 | \\
 1
 \end{array}$$

$$x^2$$





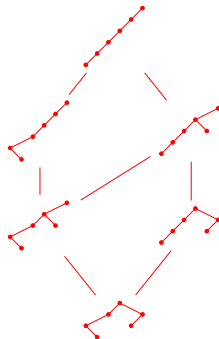
$$\begin{array}{c} 3 \\ / \quad \backslash \\ 1 \quad 2 \end{array} + \begin{array}{c} 3 \\ | \\ 1 \\ | \\ 2 \end{array}$$

$$x^3 + x^2$$



$$\begin{array}{c} 2 \\ | \\ 1 \end{array}$$

$$x^2$$



$$x^3 \cdot x \cdot x^2$$



→

$$\begin{array}{c}
 3 \\
 \diagdown \quad \diagup \\
 1 \quad 2
 \end{array}
 +
 \begin{array}{c}
 3 \\
 | \\
 1 \\
 | \\
 2
 \end{array}$$

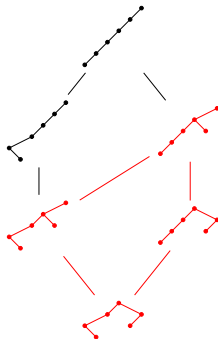
$$x^3 + x^2$$



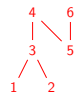
→

$$\begin{array}{c}
 2 \\
 | \\
 1
 \end{array}$$

$$x^2$$



+



$$x^3 \cdot x \cdot x^2$$

$$+ x^3 \cdot x \cdot x$$



→

$$\begin{array}{c} 3 \\ \diagdown \quad \diagup \\ 1 \quad 2 \end{array} + \begin{array}{c} 3 \\ | \\ 1 \\ | \\ 2 \end{array}$$

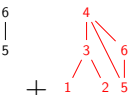
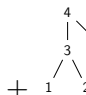
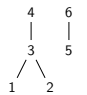
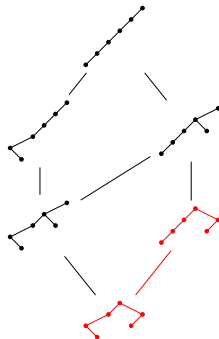
$$x^3 + x^2$$



→

$$\begin{array}{c} 2 \\ | \\ 1 \end{array}$$

$$x^2$$



$$x^3 \cdot x \cdot x^2$$

$$+ x^3 \cdot x \cdot x$$

$$+ x^3 \cdot x$$



→

$$\begin{array}{c}
 3 \\
 \swarrow \quad \searrow \\
 1 \quad 2
 \end{array}
 +
 \begin{array}{c}
 3 \\
 | \\
 1 \\
 | \\
 2
 \end{array}$$

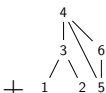
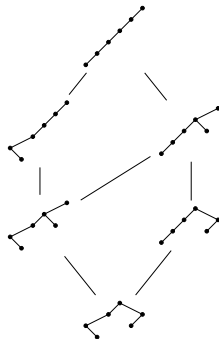
$$x^3 + x^2$$



→

$$\begin{array}{c}
 2 \\
 | \\
 1
 \end{array}$$

$$x^2$$



$$x^3 \cdot x \cdot x^2$$

$$+ x^3 \cdot x \cdot x$$

$$+ x^3 \cdot x$$

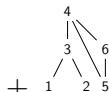
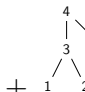
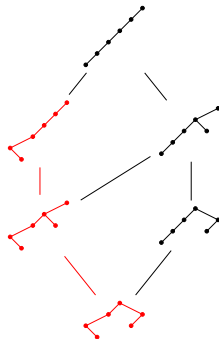


$$\begin{array}{c} 3 \\ \diagdown \quad \diagup \\ 1 \quad 2 \end{array} + \begin{array}{c} 3 \\ | \\ 1 \\ | \\ 2 \end{array}$$

$$x^3 + x^2$$

$$\begin{array}{c} 2 \\ | \\ 1 \end{array}$$

$$x^2$$



$$\begin{array}{c} 4 \\ | \\ 3 \\ | \\ 1 \\ | \\ 2 \end{array} + \begin{array}{c} 6 \\ | \\ 5 \end{array}$$

$$x^3 \cdot x \cdot x^2$$

$$+ x^3 \cdot x \cdot x + x^3 \cdot x$$

$$+ x^2 \cdot x \cdot x^2$$



→

$$\begin{array}{c}
 3 \\
 \diagdown \quad \diagup \\
 1 \quad 2
 \end{array}
 +
 \begin{array}{c}
 3 \\
 | \\
 1 \\
 | \\
 2
 \end{array}$$

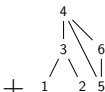
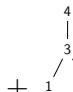
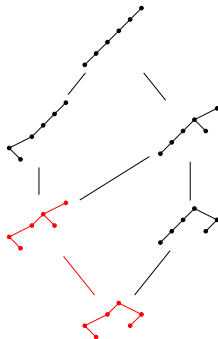
$$x^3 + x^2$$



→

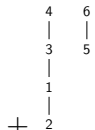
$$\begin{array}{c}
 2 \\
 | \\
 1
 \end{array}$$

$$x^2$$



$$x^3 \cdot x \cdot x^2$$

$$+ x^3 \cdot x \cdot x + x^3 \cdot x$$



$$+ x^2 \cdot x \cdot x^2 + x^2 \cdot x \cdot x$$



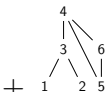
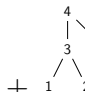
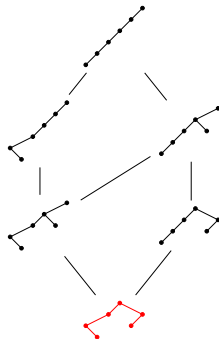
→

$$\begin{array}{c} 3 \\ | \\ 1 \quad 2 \end{array} + \begin{array}{c} 3 \\ | \\ 1 \\ | \\ 2 \end{array} \\
 x^3 + x^2$$



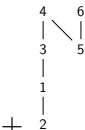
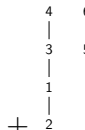
→

$$\begin{array}{c} 2 \\ | \\ 1 \end{array} \\
 x^2$$



$$x^3 \cdot x \cdot x^2$$

$$+ x^3 \cdot x \cdot x + x^3 \cdot x$$



$$+ x^2 \cdot x \cdot x^2 + x^2 \cdot x \cdot x$$

$$+ x^2 \cdot x$$



$$\begin{array}{c}
 3 \\
 \swarrow \quad \searrow \\
 1 \quad 2
 \end{array}
 +
 \begin{array}{c}
 3 \\
 | \\
 1 \\
 | \\
 2
 \end{array}$$

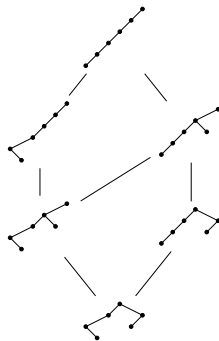
$$x^3 + x^2$$

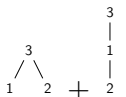
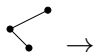


$$\begin{array}{c}
 2 \\
 | \\
 1
 \end{array}$$

$$x^2$$

$$(x^3 + x^2).x.(x^2 + x + 1)$$

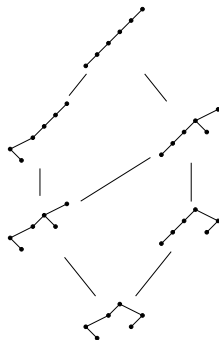




$$x^3 + x^2$$



$$x^2$$



$$x \mathcal{B}_L(x) \frac{\mathcal{B}_R(x) - \mathcal{B}_R(1)}{x - 1}$$

Posets de m -Tamari

(2011-2012) Bergeron, Préville-Ratelle, *Higher trivariate diagonal harmonics via generalized Tamari posets.*

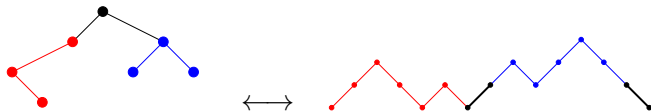
Posets de m -Tamari

(2011-2012) Bergeron, Préville-Ratelle, *Higher trivariate diagonal harmonics via generalized Tamari posets.*

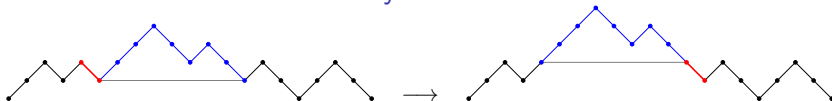
Structure de treillis, intervalles

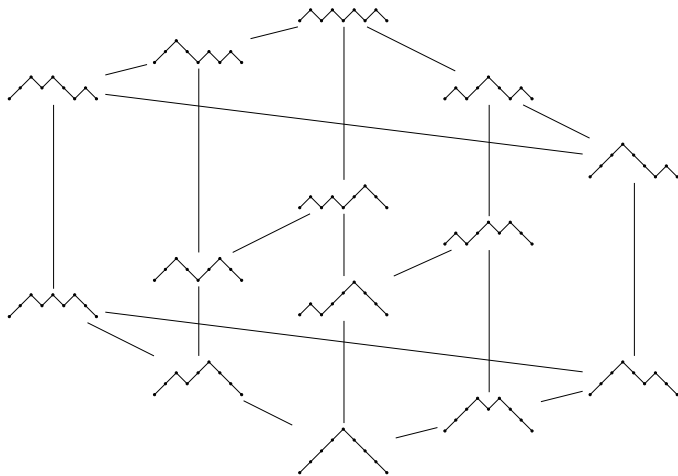
(2011) Bousquet-Mélou, Fusy, Préville-Ratelle, *The number of intervals in the m -Tamari lattices.*

Bijection arbres - chemins



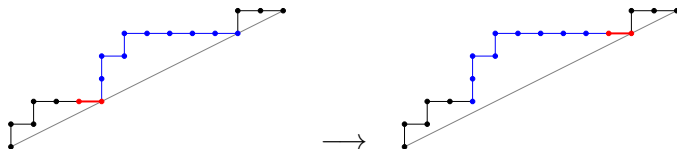
Rotation sur les chemins de Dyck

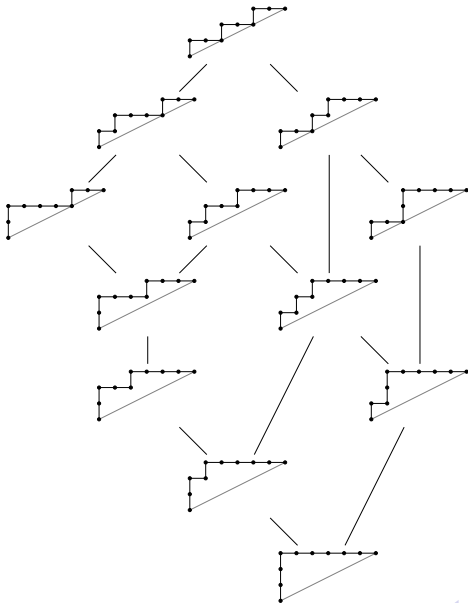


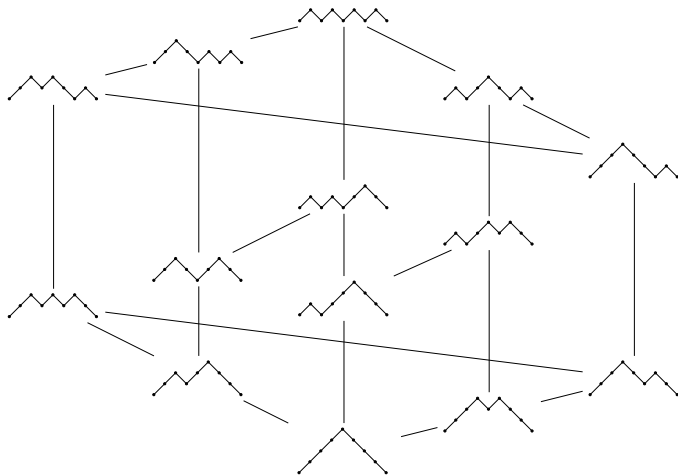


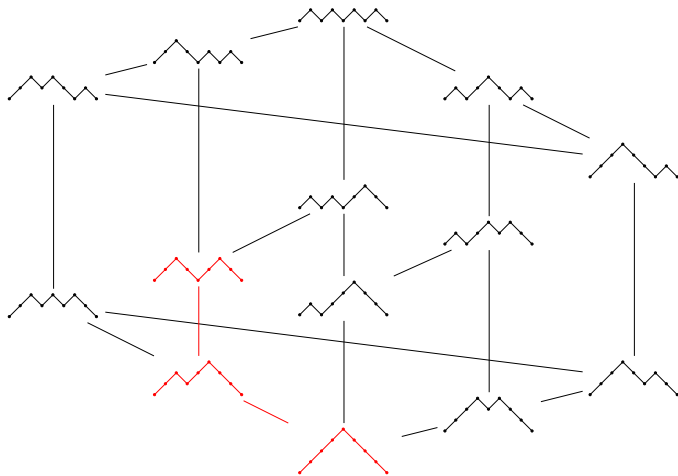
Chemins m -Ballots

Exemple $m = 2$.

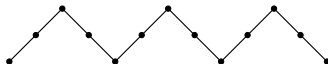
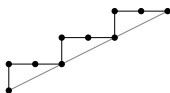


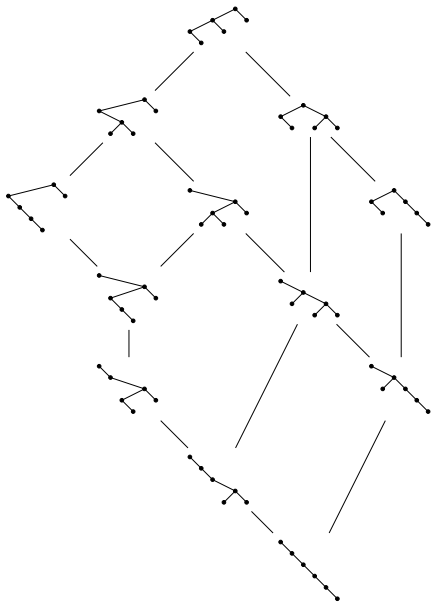




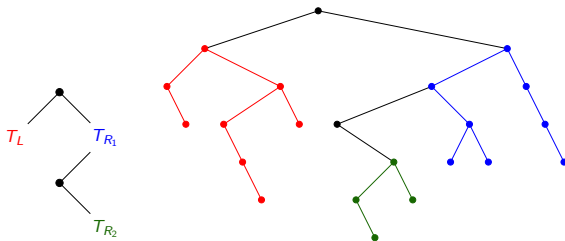


Arbres m -binaires





Structure ternaire



Cas du treillis de Tamari (Chapoton)

$$\Phi = 1 + B(\Phi, \Phi)$$

$$B(f, g) = xf(x)\Delta(g)$$

$$\Delta(g) = \frac{xg(x) - g(1)}{x - 1}$$

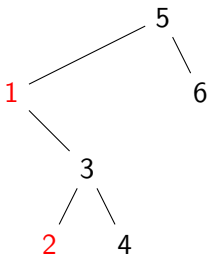
Cas des treillis m -Tamari

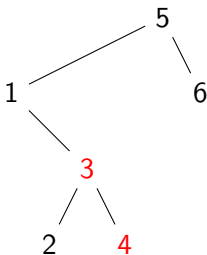
(Bousquet-Mélou, Fusy, Préville-Ratelle)

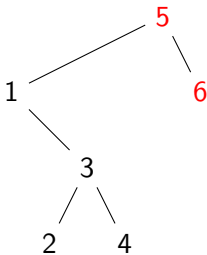
$$\Phi^{(2)} = 1 + B^{(2)}(\Phi^{(2)}, \Phi^{(2)}, \Phi^{(2)})$$

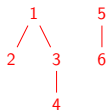
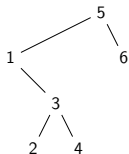
$$B^{(2)}(f, g_1, g_2) = xf(x)\Delta(g_1\Delta(g_2))$$

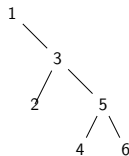
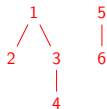
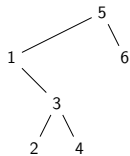
$$\Delta(g) = \frac{xg(x) - g(1)}{x - 1}$$

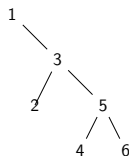
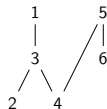
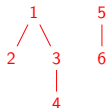
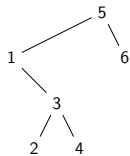


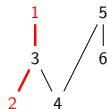
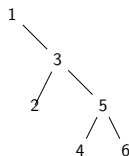
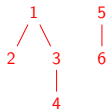
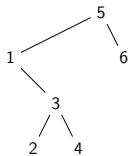


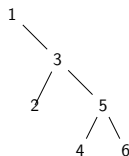
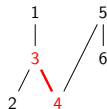
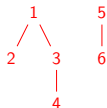
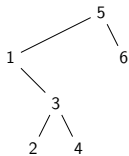


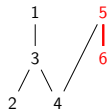
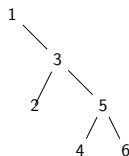
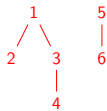
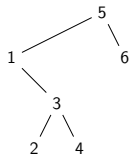












$$\mathbb{B}^{(2)} \left(\begin{array}{c} 1 \\ | \\ 2 \end{array}, \begin{array}{c} 1 \ 3 \\ | / | \\ 2 \ 4 \end{array}, \begin{array}{c} 1 \\ | \\ 2 \end{array} \right) =$$

The diagram illustrates the expansion of the product of three ballot paths into seven ballot paths. The paths are labeled with numbers 1 through 10, representing the sequence of steps. The paths are connected by plus signs, indicating a sum of paths.

Théorème (Châtel, P.)

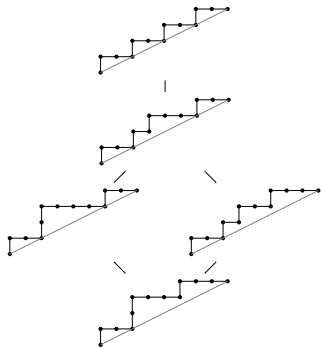
Soit T un élément de m -Tamari composé des éléments L, R_1, \dots, R_m .

On définit récursivement $\mathcal{B}_T^{(m)}$ par

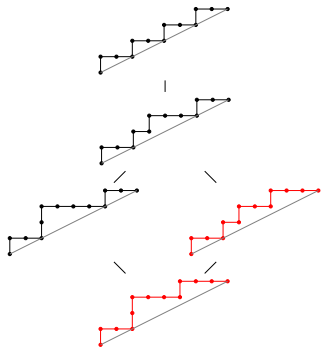
$$\mathcal{B}_\emptyset^{(m)} := 1$$

$$\mathcal{B}_T^{(m)}(x) := \mathcal{B}^{(m)}(L, R_1, \dots, R_m)$$

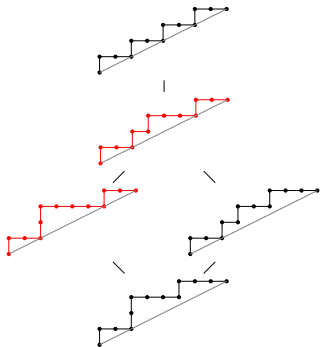
Alors $\mathcal{B}_T^{(m)}$ compte le nombre d'éléments inférieurs ou égaux à T dans le treillis de m -Tamari.



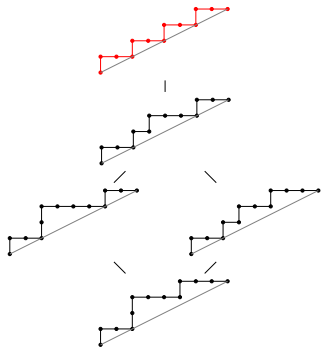
$$\begin{aligned}\mathcal{B}_T^{(2)} &= \mathcal{B}^{(2)}(x, x, x) \\ &= x^2 \Delta(x \Delta(x)) \\ &= x^2 \Delta(x(1+x)) \\ &= x^2(2 + 2x + x^2) \\ &= 2x^2 + 2x^3 + x^4\end{aligned}$$



$$\begin{aligned}\mathcal{B}_T^{(2)} &= \mathcal{B}^{(2)}(x, x, x) \\ &= x^2 \Delta(x \Delta(x)) \\ &= x^2 \Delta(x(1+x)) \\ &= x^2(2 + 2x + x^2) \\ &= 2x^2 + 2x^3 + x^4\end{aligned}$$



$$\begin{aligned}\mathcal{B}_T^{(2)} &= \mathcal{B}^{(2)}(x, x, x) \\ &= x^2 \Delta(x \Delta(x)) \\ &= x^2 \Delta(x(1+x)) \\ &= x^2(2 + 2x + x^2) \\ &= 2x^2 + 2x^3 + x^4\end{aligned}$$



$$\begin{aligned} \mathcal{B}_T^{(2)} &= \mathcal{B}^{(2)}(x, x, x) \\ &= x^2 \Delta(x \Delta(x)) \\ &= x^2 \Delta(x(1+x)) \\ &= x^2(2 + 2x + x^2) \\ &= 2x^2 + 2x^3 + x^4 \end{aligned}$$

Intervalles-posets

Intervalles-posets

- ▶ bijection avec les triangulations planes, statistiques symétriques, etc.

Intervalles-posets

- ▶ bijection avec les triangulations planes, statistiques symétriques, etc.
- ▶ polynômes de Tamari multivariés et flots

Intervalles-posets

- ▶ bijection avec les triangulations planes, statistiques symétriques, etc.
- ▶ polynômes de Tamari multivariés et flots
- ▶ treillis cambriens et généralisations

Intervalles-posets

- ▶ bijection avec les triangulations planes, statistiques symétriques, etc.
- ▶ polynômes de Tamari multivariés et flots
- ▶ treillis cambriens et généralisations

Structures " m "

Intervalles-posets

- ▶ bijection avec les triangulations planes, statistiques symétriques, etc.
- ▶ polynômes de Tamari multivariés et flots
- ▶ treillis cambriens et généralisations

Structures " m "

- ▶ structures algébriques

Intervalles-posets

- ▶ bijection avec les triangulations planes, statistiques symétriques, etc.
- ▶ polynômes de Tamari multivariés et flots
- ▶ treillis cambriens et généralisations

Structures " m "

- ▶ structures algébriques
- ▶ treillis des chaînes de permutations